

بررسی کیفیت آب زیرزمینی آبخوان دشت اوآن در استان خوزستان با تأکید بر غلظت نیترات

سید یحیی میرزایی^{۱*}، زهرا چقازردی^۲، منوچهر چیت‌سازان^۳، فرشاد علیجانی^۴

۱. دانشیار، گروه زمین‌شناسی، دانشکده علوم زمین، دانشگاه شهید چمران اهواز، اهواز، ایران

۲. دانشجوی دکتری، گروه زمین‌شناسی، دانشکده علوم زمین، دانشگاه شهید چمران اهواز، اهواز، ایران

۳. استاد، گروه زمین‌شناسی، دانشکده علوم زمین، دانشگاه شهید چمران اهواز، اهواز، ایران

۴. استادیار، گروه زمین‌شناسی، دانشکده علوم زمین، دانشگاه شهید بهشتی تهران، تهران، ایران

تاریخ دریافت: ۱۴۰۲/۰۲/۱۲

تاریخ پذیرش: ۱۴۰۲/۰۳/۰۸

چکیده

دشت اوآن در استان خوزستان در جنوب غربی شهرستان اندیمشک قرار گرفته است. آب زیرزمینی از جمله منابع آب موجود برای آبیاری، شرب و صنعت در این منطقه به شمار می‌رود. بدین منظور با توجه به اهمیت بررسی کیفیت آب زیرزمینی دشت اوآن پارامترهای هیدروشیمیایی و هم‌چنین وضعیت آلاینده‌گی نیترات مورد ارزیابی و بررسی قرار گرفته است. نیترات در سطح جهان از گسترده‌ترین آلاینده آب‌های زیرزمینی به حساب می‌آید. با این حال، مطالعات اندکی بر روی این آلاینده در دشت اوآن انجام شده است، در این راستا، برای بررسی کیفیت آب‌های زیرزمینی این منطقه با تأکید بر آلودگی نیترات، در شهریورماه سال آبی (۱۴۰۱ - ۱۴۰۰) از ۲۲ حلقه چاه در این دشت نمونه‌برداری و پارامترهای صحرایی (دما، EC، pH)، غلظت عناصر عمده (Ca^{2+} , Mg^{2+} , CO_3^{2-} , HCO_3^{2-} , SO_4^{2-} , Cl^- , K^+ , Na^+) و نیترات مورد اندازه‌گیری قرار گرفت. نتایج تحلیل عاملی نشان داد که به‌طور کلی سه عامل اول یعنی عناصر EC، Na^+ ، K^+ ، Mg^{2+} ، Ca^{2+} ، Cl^- ، SO_4^{2-} در عامل اول، pH، HCO_3^{2-} در عامل دوم و NO_3^- در عامل سوم، با مجموع ۸۹/۷۲ درصد بیش‌ترین تغییرات را در آبخوان دشت اوآن دارند. تیپ غالب دشت سولفات_کلسیک است. آنالیز خوشه‌بندی سلسله مراتبی تعداد سه خوشه برای منطقه بندی داده‌های نیترات را نشان می‌دهد و به‌طور کلی تغییرات غلظت یون نیترات در آب زیرزمینی آبخوان اوآن متأثر از اندازه ذرات خاک موجود در منطقه، عمق آب زیرزمینی و استفاده از کودهای شیمیایی است.

کلیدواژه‌ها: آبخوان اوآن، آلودگی نیترات، تحلیل عاملی، تحلیل خوشه‌بندی سلسله مراتبی (HCA).

مقدمه

آب زیرزمینی یک منبع مهم آب شیرین می‌باشد که در صنعت، کشاورزی و مصارف خانگی از آن استفاده می‌شود. در سال‌های اخیر افزایش جمعیت و استفاده روزافزون از مواد شیمیایی محلول و به دنبال آن تولید و گسترش فاضلاب‌های صنعتی و خانگی و درنهایت نشت آن‌ها به داخل منابع آبی، کیفیت آب زیرزمینی را به شدت کاهش داده است. نیترات به‌عنوان یکی از عوامل آلودگی آب‌های زیرزمینی که بیش‌تر توسط فعالیت‌های بشری صورت می‌گیرد، همواره مورد توجه محققان بوده است (Fetter, 2014). در بیش‌تر موارد رخداد آلودگی نیترات در آب‌های زیرزمینی با پساب‌های کشاورزی و استفاده بیش‌ازحد کودهای نیتروژن و هم‌چنین فاضلاب‌های خانگی و فضولات حیوانی در ارتباط است. این یون در آب محلول است و توسط خاک‌های غنی از رس جذب نمی‌شود (Kenny, 2014). نیترات شکل اصلی نیتروژن موجود در آب‌های زیرزمینی است و هم‌چنین در آب‌های اکسیژن‌دار می‌تواند بدون هیچ‌گونه تغییر و تبدیلی حرکت کند (Freeze, 1979). در واقع این یون پس از ورود به آب‌های زیرزمینی به صورت یک هاله آلودگی به سمت اعماق بیش‌تر و در جهت جریان حرکت می‌کند، اما نفوذپذیری و دانه‌ریز بودن مواد متشکله آن می‌تواند در روند پخش آلودگی تأثیر داشته باشد (چیت‌سازان و همکاران، ۱۳۹۷). به‌طور معمول غلظت نیترات در بالای سطح ایستایی به دلیل نزدیکی به منابع انتشاری بیش‌تر است و با افزایش عمق و حرکت به سمت نواحی پایین‌دست جریان اختلاط و رقیق شدن با آب‌هایی که میزان نیترات کمی دارند، مقدار آن کاهش می‌یابد (Kehew et al., 2010). مطابق استانداردهای اروپایی، سازمان بهداشت جهانی و استاندارد آب شرب ایران، در صورتی که میزان غلظت نیترات در آب زیرزمینی به بیش از ۵۰ میلی‌گرم در لیتر افزایش یابد، آبخوان آلوده در نظر گرفته می‌شود (EPA, 2006, WHO, 2008). شناخت و بررسی کیفیت منابع آب در مدیریت و استفاده بهینه از آن از اهمیت فراوانی برخوردار است. از این‌رو بررسی ارتباط میان کاتیون‌ها و آنیون‌ها می‌تواند بسیاری از ویژگی‌های آب را نشان داده و به کمک آن‌ها، سایر خصوصیات آب نیز تعیین گردد. ارزیابی ارتباط میان کاتیون‌ها و آنیون‌ها با روش‌های آزمایشگاهی هزینه‌های سنگینی را در بردارد. برای کاهش این هزینه‌ها می‌توان از روش‌های آماری چند متغیره همچون تحلیل مؤلفه اصلی (Principal Component Analysis) و تجزیه تحلیل خوشه‌بندی سلسله مراتبی (Hierarchical clustering analysis) استفاده نمود. PCA یکی از تکنیک‌های چند متغیره آماری است و هنگامی که حجم داده‌ها زیاد باشد، می‌تواند به‌عنوان روشی مناسب برای کاهش تعداد ورودی از آن استفاده شود به‌گونه‌ای که این تعداد ورودی، قادر به توصیف خوبی از تغییرات جامعه آماری باشند (میرزایی و همکاران، ۱۴۰۰، کلانتری و همکاران، ۱۳۹۷، نادری و همکاران، ۱۳۹۷). محققان زیادی برای بررسی کیفیت منابع آبی از روش‌های آماری استفاده کرده‌اند (Kura et al., 2013; Isa et al., 2014; Suresh et al., 2017).

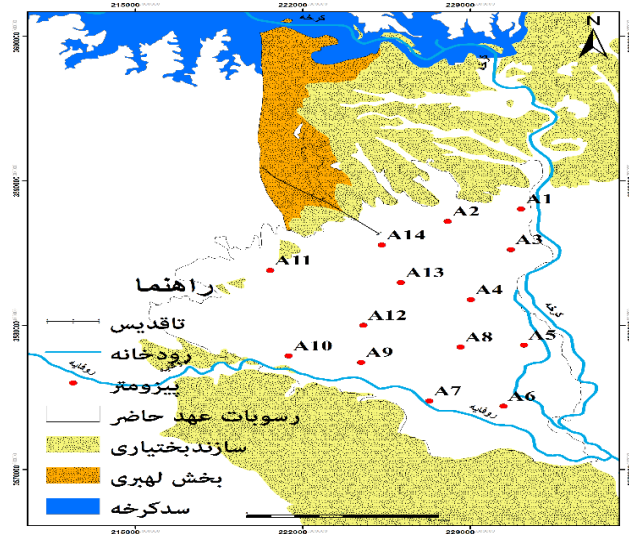
پژوهش‌های انجام‌گرفته در سراسر دنیا نمایانگر آن است که عوامل مختلف طبیعی و انسانی بر غلظت نیترات آب زیرزمینی مؤثر می‌باشند. مارتینز (Martinez, 2014)، توزیع و منشأ نیترات در آب‌های زیرزمینی در آبخوان شهری و حومه‌ای در ماردل پلاتا، آرژانتین را بررسی کردند. این مطالعه نشان داد که آبخوان در مناطق شهری توسط فعالیت‌های کشاورزی در مناطق بالادست و نشت از شبکه‌های فاضلاب در مناطق شهری تحت تأثیر قرار می‌گیرد. چن و جانگ (Chen and Jang,

2015)، میزان آسیب‌پذیری منابع آبی را نسبت به شاخص آلودگی موردبررسی قراردادند. آن‌ها از روش کریجینگ به‌منظور تعیین آسیب‌پذیری منطقه مورد مطالعه خود بهره بردند. هم‌چنین با استفاده از برآوردگر مذکور، از رگرسیون لجستیک برای بررسی عوامل تأثیرگذار بر آسیب‌پذیری استفاده کردند (Chen and Jang, 2015). راماروسون (Ramaroson, 2020)، آلودگی نیترات آب زیرزمینی در منطقه‌ای در ماداگاسکار را با استفاده از روش‌های تجزیه و تحلیل چند متغیره بررسی کردند و دریافتند که فعالیت‌های انسانی (فاضلاب خانگی) عامل اصلی آلودگی نیترات است. شیرانی و همکاران (۱۳۹۲)، در ارزیابی منابع آلودگی آب‌های زیرزمینی در محیط شهری تهران، آلودگی نیترات را ناشی از عواملی مانند وجود بافت شنی-ماسه‌ای و شنی-رسی، عدم رعایت حریم چاه‌ها، عمق کم چاه‌های حفاری برای آبیاری فضای سبز و استفاده از چاه‌های جذبی جهت دفع فاضلاب‌های خانگی دانسته‌اند. مظفری و سجادی (۱۳۹۳)، در بررسی آلودگی شیمیایی آب زیرزمینی آبخوان برازجان دریافتند که، آلودگی شدید نیترات تا بیش از ۱۱۱ میلی‌گرم بر لیتر در بخش جنوبی آبخوان به‌وسیله فعالیت‌های کشاورزی و هم‌چنین چاه‌های جذبی و ورود آب آلوده از مرغداری‌ها رخ داده است و ۸۹ درصد از نمونه‌های آب زیرزمینی غلظت نیترات بیش‌تر از مقدار استاندارد دارند. درخور و شبان (۱۳۹۷)، در بررسی آلودگی میکروبی و نیترات در آبخوان شهر یاسوج، دریافتند که افزایش غلظت نیترات بر اثر بافت درشت‌دانه، فاضلاب خانگی و استفاده از کودهای کشاورزی بوده است. بوسلیک و جعفری (۱۳۹۹)، در شناسایی منشأ یون‌ها و فرآیندهای کنترل‌کننده کیفیت آب آبخوان شاهرود با استفاده از تکنیک‌های ژئوشیمیایی به این نتیجه رسیدند که فرآیندهای انحلال هالیت و ژپس، رسوب‌گذاری کلسیت و دولومیت و تبادلات کاتیونی مستقیم و معکوس، از مهم‌ترین فرآیندهای کنترل‌کننده کیفیت آب آبخوان شاهرود هستند. در سال‌های اخیر، افزایش فعالیت‌های کشاورزی و مناطق روستایی و به دنبال آن استفاده از کودهای شیمیایی نیتروژن و دفع فاضلاب خانگی به آب زیرزمینی آبخوان اوان افزایش یافته است. از این‌رو در این پژوهش به بررسی کیفیت آب‌های زیرزمینی دشت اوان با تأکید بر یون نیترات، تعیین منشأ آلودگی نیترات و مناطق دارای بیش‌ترین پتانسیل آلودگی با استفاده از روش‌های گرافیکی و آماری پرداخته شده است.

منطقه مورد مطالعه

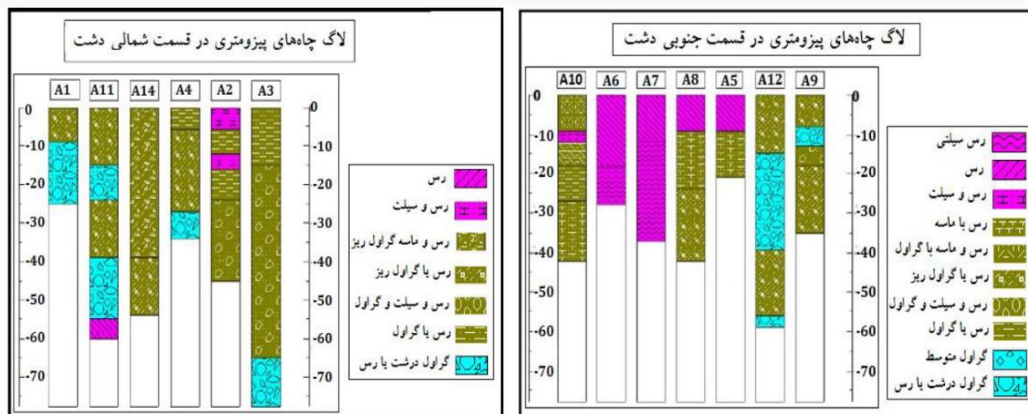
دشت اوان با مساحت ۱۹۵ کیلومترمربع در فاصله ۱۴۰ کیلومتری شهرستان اهواز در شمال غرب استان خوزستان در مسیر جاده اندیمشک به دهلران واقع شده است. این دشت به شکل مثلث بوده (شکل ۱) که ضلع شرقی آن به رود کرخه، ضلع جنوب غربی آن به دشت دوسلق، ضلع شمال غربی آن به سد کرخه و رأس غربی آن به خروجی سطحی دشت عباس محدود می‌شود (کلانتری و همکاران، ۱۳۹۱). منطقه مورد مطالعه جزئی از حوضه رسوبی ساختاری زاگرس چین‌خورده است. از لحاظ چینه‌شناسی مهم‌ترین واحدهای رسوبی منطقه مربوط به سازندهای بختیاری و بخش لهبری می‌باشند. این سازندها مهم‌ترین عوامل تأثیرگذار بر کمیت و کیفیت آب‌های زیرزمینی منطقه می‌باشند. لیتولوژی سازند بختیاری عمدتاً شامل کنگلومرا باسیمان آهکی است اما گاهی سیمان ماسه‌ای و سیلتی نیز در آن مشاهده می‌شود. در این منطقه سازند بختیاری استحکام چندانی نداشته و به‌مرورزمان در اثر فرسایش‌های آبی، سیمان کربنات خود را ازدست‌داده و به‌صورت آبرفت، ناودیس‌های ملایمی را پر کرده است. لیتولوژی بخش لهبری نیز شامل مارن، سیلتستون و گل‌سنگ است. ناودیس دشت اوان

که بخشی از ناودیس بزرگ دشت دزفول می‌باشد، توسط آبرفت‌های حاصل از فرسایش سازندهای اطراف پر شده است. در دشت اوان از سمت مناطق شمالی و شمال غربی دشت به سمت جنوب و جنوب شرق از اندازه ذرات کاسته می‌شود (شکل ۲).



شکل ۱. موقعیت جغرافیایی و محل چاه‌های مشاهداتی دشت اوان

Fig. 1. Geographical location and location of observation wells in Evan plain

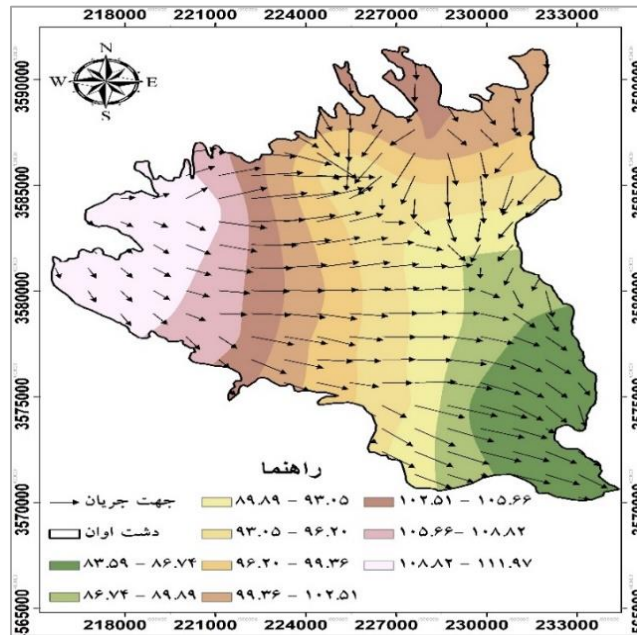


شکل ۲. لاگ چاه‌های مشاهداتی دشت اوان

Fig.2. Log of observation wells in the Evan plain

اجزاء دانه‌درشت این رسوبات ناشی از متلاشی شدن سازند بختیاری و اجزاء ریزدانه آن از فرسایش بخش لهری می‌باشد. عامل فرسایش آبراهه‌ها، رودخانه بزرگ کرخه و رودخانه رفائیه می‌باشند. این آبراهه‌ها با برجای نهادن رسوبات درشت‌دانه خود در بدو ورود به دشت و حمل رسوبات ریزدانه‌تر و انتقال آن به انتهای مسیر خود، باعث شده‌اند تا اندازه ذرات رسوبات دشت اوان، در شمال و شمال غرب دشت، درشت‌دانه بوده و به سمت جنوب و جنوب شرق ریزدانه گردند. در جهت عمودی

نیز، اندازه ذرات در ابتدا ریز تا متوسط دانه بوده و سپس درشت‌تر می‌گردد و در نهایت مجدداً ریزدانه شده و به یک‌لایه رس فشرده ختم می‌شود. آبخوان دشت اوان نیز در همین لایه درشت دانه‌تر میانی شکل گرفته است. رودخانه کرخه تنها رودخانه دائمی است که از دشت اوان عبور می‌کند و نقش مهمی در تأمین نیاز آبی منطقه دارد. کیفیت مناسب آب این رودخانه سبب شده تا در مصارف مختلف به میزان زیاد از آن استفاده شود. این رودخانه آب کشاورزی بخش وسیعی از دشت را فراهم می‌کنند. در این دشت تعداد ۱۴ پیزومتر وجود دارد و میانگین سطح ایستابی این منطقه در سال آبی ۱۴۰۱-۱۴۰۰ حدود ۱۰۲/۳۶ متر می‌باشد. لازم به ذکر است که از سال ۱۳۷۹ به علت بهره‌برداری زیاد از رودخانه کرخه، برداشت از آب‌های زیرزمینی از طریق پمپاژ از چاه‌های بهره‌برداری کم‌تر شده، به گونه‌ای که تراز سطح آبخوان از سال ۷۹ به بعد روندی نسبتاً یکنواخت و صعودی را طی می‌کند و این موضوع باعث شده است عمق برخورد سطح آب زیرزمینی با سطح زمین کم‌تر شود و در معرض آلاینده‌های موجود در سطح زمین قرار گیرد و بنابراین پتانسیل آلودگی آب زیرزمینی را افزایش می‌دهد. جهت جریان آب زیرزمینی عمدتاً از شمال غرب به سمت جنوب شرق می‌باشد (شکل ۳). تغذیه آبخوان از سازندهای مجاور در شمال و غرب دشت و توپوگرافی منطقه، دو عامل کنترل‌کننده جهت کلی جریان آب زیرزمینی دشت اوان می‌باشند.



شکل ۳. نقشه هم‌پتانسیل و جهت جریان آب زیرزمینی در دشت اوان

Fig.3. The isopotential map and groundwater flow direction in the Evan plain

مواد و روش‌ها

جهت بررسی تغییرات مکانی و ارزیابی آلودگی یون نیترات آب زیرزمینی آبخوان اوان، در شهریورماه سال آبی (۱۴۰۱-۱۴۰۰) نمونه‌برداری از تعداد ۲۲ حلقه چاه بهره‌برداری که دارای پراکنش نسبی در منطقه مورد مطالعه هستند، مطابق شکل ۱ صورت گرفت. آنالیز شیمیایی آنیون‌ها و کاتیون‌های اصلی (Ca^{2+} , Mg^{2+} , Na^+ , K^+ , Cl^- , SO_4^{2-} , HCO_3^{2-} , CO_3^{2-}) و یون نیترات در آزمایشگاه سازمان آب و برق استان خوزستان انجام گردید. در آزمایشگاه مذکور، یون‌های کلسیم، منیزیم، کلرید، کربنات و

بیکربنات به روش تیتراسیون، سدیم و پتاسیم به روش شعله سنجی و سولفات و نیترات به روش اسپکتروفتومتر (UV-Vis مدل Dr2800) مورد اندازه‌گیری قرار گرفته است. مقدار pH و هدایت الکتریکی در محل توسط دستگاه دیجیتالی هدایت سنج الکتریکی اندازه‌گیری شد. در ابتدا غلظت کل آنیون‌ها و کاتیون‌های چاه‌های نمونه‌برداری شده برحسب میلی‌اکی والان بر لیتر سنجیده شد و میزان درصد خطا محاسبه گردیده است. میزان خطا ۱/۳ درصد محاسبه و از حد مجاز ۵ درصد خطا کم‌تر بوده است که این میزان خطا قابل قبول می‌باشد. در روش آماری، برای استانداردسازی داده‌ها از روش کایزر (Kaiser) استفاده شده است که بر اساس آن، نرمال بودن توزیع داده‌ها مشخص می‌شود (چیت‌سازان و همکاران، ۱۳۹۷). در مرحله بعدی مناسب بودن داده‌ها برای انجام تحلیل‌های آماری بررسی شده است که در این پژوهش، از شاخص کایزر-مایر-الکین (Kaiser-Mayer-Olkin) و آزمون بارتلت (Bartlett Test) استفاده شده است (جدول ۱). شاخص کایزر-مایر-الکین در بازه صفر تا یک قرار دارد. اگر مقدار شاخص KMO نزدیک به یک باشد، داده‌های مورد نظر (اندازه نمونه) برای تحلیل آماری مناسب هستند (چیت‌سازان و همکاران، ۱۳۹۷). در این پژوهش، تمام پارامترهای هیدروشیمیایی مقادیر KMO بیش‌تر از ۰/۵۸ را نشان دادند، بنابراین برای تحلیل آماری مناسب می‌باشند. هم‌چنین بر اساس آزمون بارتلت، در صورتی انجام تحلیل آماری قابل قبول است که $P\text{-value} < \alpha$ باشد. مقدار احتمال خطا و α سطح خطا می‌باشد که معمولاً ۰/۰۵ در نظر گرفته می‌شود. با توجه به جدول ۱ مقدار احتمال خطا $P\text{-value} < ۰/۰۰۱$ و از ۰/۰۵ سطح خطا کم‌تر است و انجام تحلیل آماری امکان‌پذیر می‌باشد. برای بررسی آلودگی یون نیترات در آب زیرزمینی آبخوان اوان، از نقشه توزیع مکانی یون نیترات، نقشه‌های جهت جریان، عمق آب زیرزمینی، نسبت‌های یونی، نمودار پایپر و روش آماری تحلیل خوشه‌بندی سلسله مراتبی (HCA) استفاده شده است. جهت دستیابی به اهداف این تحقیق، از نرم‌افزارهای Excel، Aq.QA، Surfer، Arc GIS 10.5 و XLSTAT مورد استفاده قرار گرفته است.

تحلیل عاملی

تشخیص مجموعه‌ای از فرایندهای هیدرو شیمیایی و شرایط هیدروژئولوژی که در یک آبخوان کیفیت آب‌های زیرزمینی را تحت تأثیر قرار می‌دهند، مشکل است. به همین جهت هیدروشیمیست‌ها جهت تشخیص سهم هر یک از عوامل و شرایط مؤثر بر ترکیب آب زیرزمینی از روش‌های آماری مانند تحلیل عاملی (Factor Analysis) استفاده می‌کنند. (Jeong, 2001). تحلیل عاملی یک روش آماری چند متغیره است که هدف آن شناخت سازوکارهای مؤثر یا ساده کردن مجموعه‌های پیچیده و مختلفی است که بین متغیرهای مشاهده‌ای وجود دارد (Liu, 2003).

جدول ۱. نتایج آزمون بارتلت

Table 1. Bartlett test results

Bartlett's sphericity test:

Chi-square (Observed value)	242.592
Chi-square (Critical value)	32.671
DF	21
p-value	< 0.0001
alpha	0.05

در مطالعه کیفیت آب زیرزمینی دشت اوان از روش تحلیل عاملی برای شناخت عوامل و میزان تأثیرگذاری آن‌ها بر کیفیت آب‌های زیرزمینی استفاده شده است. متغیرهای هیدروشیمیایی که از آن‌ها در مطالعات هیدروژئوشیمی استفاده شده است، شامل نتایج آنالیزهای شیمیایی آب چاه‌های بهره‌برداری دشت اوان می‌باشد. تحلیل عاملی دارای سه مرحله‌ی تهیه ماتریکس همبستگی متغیرها، استخراج عامل‌ها و تفسیر نتایج می‌باشد (Guler, 2002). اساس ماتریکس همبستگی، ضریب همبستگی پیرسون می‌باشد (رابطه ۱):

$$r = \frac{\sum(x - \bar{x})(y - \bar{y})}{(n - 1)s_1s_2} \quad (1)$$

X و Y مربوط به میزان هر یک از متغیرها، \bar{x} و \bar{y} میانگین ریاضی این متغیرها، n تعداد داده‌ها و s_1 و s_2 انحراف معیار هر یک از متغیرها می‌باشد. در مرحله بعد عوامل از میان پارامترها به دست می‌آید، از میان عوامل حاصله، اولین فاکتور بیش‌ترین میزان واریانس را شامل می‌شود و به ترتیب عوامل بعدی مقادیر کم‌تری از واریانس را نشان می‌دهند. ضرایب بالای (۱ تا -۱) پارامترهای به‌دست‌آمده (مثبت یا منفی) که تشکیل‌دهنده‌ی هر یک از عوامل هستند نشان‌دهنده تأثیر بالای آن متغیر (مثبت یا منفی) می‌باشد.

آنالیز خوشه‌بندی سلسله مراتبی (HCA)

تحلیل خوشه‌ای برای تعیین شباهت نسبی به‌کاررفته می‌رود که این شباهت، همگنی در ویژگی‌های اندازه‌گیری شده پارامترها را نشان می‌دهد. این روش آماری، کاربرد زیادی در بررسی داده‌های چند متغیره از جمله بررسی ارتباط بین متغیرها، سازمان‌دهی نمونه‌ها در قالب ساختارهای معنی‌دار و نمایش ترکیب کل آب زیرزمینی یک منطقه به تعداد محدودی از خوشه‌ها دارد. تحلیل خوشه‌ای مجموعه‌ای از متغیرها را در داخل خوشه‌های همگن جای می‌دهد خوشه‌های حاصل از این تحلیل، از همگنی درونی (درون خوشه) و بیرونی (بین خوشه‌ها) برخوردار هستند. (Kazma and Sheresta, 2007). روش‌های مختلفی برای طبقه‌بندی داده‌ها وجود دارد ولی خوشه‌بندی آماری یکی از مهم‌ترین روش‌هایی است که به‌طور گسترده‌ای در علوم زمین مورد استفاده قرار می‌گیرد (Mirzaee et al, 2022; Davis, 1986; Belkhiri et al, 2011). با استفاده از روش خوشه‌بندی آماری می‌توان نمونه‌ها را به گروه‌های متمایزی که از لحاظ زمین‌شناسی و آماری، معنی‌دار باشند تقسیم‌بندی کرد (Willames and Steinhorst, 2007).

نتایج و بحث

تحلیل عاملی

مطابق توضیحاتی که در بخش روش تحقیق گفته شده است، جهت بررسی دقیق متغیرها، برای انتخاب عوامل مؤثر سیستم، مقادیر ویژه، درصد واریانس و واریانس تجمعی محاسبه گردید. و استخراج مقادیر ویژه حاصل از ماتریس داده‌های استاندارد شده منجر به استخراج عامل‌های اصلی طبق جدول ۲، سه عامل مؤثر، که مقادیر ویژه بیش‌تر از یک دارند، به‌عنوان عوامل اصلی شناسایی شدند که ۸۹/۷۲ درصد از تغییرات واریانس کل را شامل می‌شوند و برای تفسیرهای بعدی به‌کاربرده می‌شوند. جدول ۲، مقادیر ویژه، درصد واریانس و واریانس تجمعی را نشان می‌دهد. درصد واریانس هر یک از متغیرها نشان از اهمیت

آن پارامتر در هیدروشیمی منطقه دارد. بنابراین از این میان ۳ عامل که بیش‌ترین واریانس را دارند انتخاب می‌شوند. نتایج حاصل از کاربرد تحلیل مؤلفه اصلی در جدول ۳ نشان داده شده است. جهت به دست آوردن عناصری که در هر مؤلفه جای می‌گیرند، باید در هر ستون عناصری که بار عاملی آن‌ها زیاد می‌باشد (معمولاً بیش‌تر از ۰/۶)، انتخاب نموده و در یک گروه طبقه‌بندی نمود. مدل عاملی به‌کاررفته برای ۳ عامل و ۱۱ متغیر موردبررسی قرار گرفته است. نتایج حاصل از تحلیل عاملی نشان‌دهنده آن است که این عامل‌ها حدود ۸۹/۷۲ از کل میزان تغییرات را شامل می‌شوند. به‌طوری‌که از این مقدار ۶۷/۸۲ درصد توسط عامل اول، ۱۴/۴۷ درصد توسط عامل دوم و ۷/۴۱ درصد توسط عامل سوم تعیین می‌شود. در عامل اول همبستگی قوی پارامترهای EC, Na, K, Mg, Ca, Cl, So₄ نشان‌دهنده تعامل زیاد آب و سنگ، تأثیر سازندهای زمین‌شناسی در منطقه مورد مطالعه است. بررسی نتایج حاصل از محاسبه شاخص‌های اشباع‌هالیت، کلسیت، دولومیت، ژپس و انیدریت در منطقه نشان داد آب‌های موجود عمدتاً نسبت به کانی‌های کلسیت و دولومیت به حالت فوق اشباع و نسبت به هالیت و ژپس تحت اشباع می‌باشند (شکل ۴).

جدول ۲. نتایج تحلیل عاملی

Table 2. Factor analysis results

	F1	F2	F3	F4	F5	F6
Eigenvalue	7.261	1.593	1.030	0.172	0.027	0.017
Variability (%)	67.824	14.479	7.418	1.561	0.244	0.155
Cumulative (%)	67.824	82.303	89.721	91.282	91.526	91.681

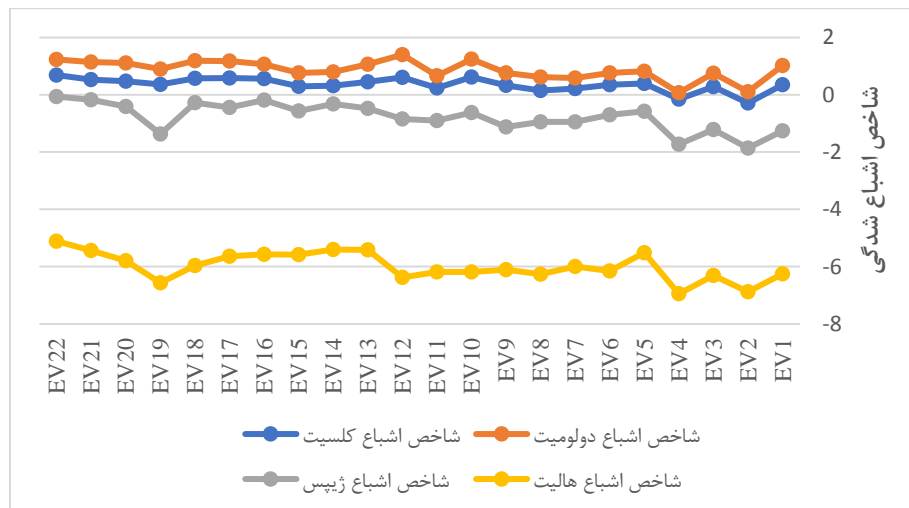
جدول ۳. ماتریس عوامل در تحلیل عاملی

Table 3. Matrix of factors in factor analysis

	F1	F2	F3
EC	0.994	0.084	0.069
TDS	0.992	0.110	0.061
pH	-0.321	0.702	0.505
Na	0.923	0.059	0.190
K	0.887	-0.293	0.140
Mg	0.944	0.149	0.159
Ca	0.949	0.056	0.070
Hco ₃	0.130	-0.938	0.221
Cl	0.896	-0.125	0.087
No ₃	0.469	0.158	0.641
So ₄	0.949	0.213	0.012

بررسی سازندهای موجود در اطراف و سنگ کف آبخوان نشان می‌دهد که انحلال آهک و دولومیت موجود در سازند گنکومرای بختیاری که دارای سیمان آهکی است باعث افزایش مقادیر این املاح در آب‌های منطقه شده است و هم‌چنین وجود سازند آجاجاری با کانی‌های تبخیری مانند هالیت و ژپس موجود در میان لایه‌های بخش لهری امکان انحلال بیشتر این املاح را در آب‌های منطقه فراهم نموده است. عامل دوم، نشان‌دهنده تغذیه ناشی از آب‌های سطحی (رودخانه کرخه) و

بارندگی در دشت می‌باشد و در نهایت در عامل سوم یون نیترات بیش‌ترین تأثیرگذاری را در کیفیت آب زیرزمینی دشت اوان دارد. از آنجایی‌که اصلی‌ترین عامل افزایش یون نیترات، فعالیت‌های انسانی و کشاورزی است، می‌توان استنباط کرد که عامل سوم منشأ انسانی دارد، با این‌وجود به بررسی دقیق‌تر منشأ آلودگی نیترات در منطقه مورد مطالعه پرداخته‌شده است.



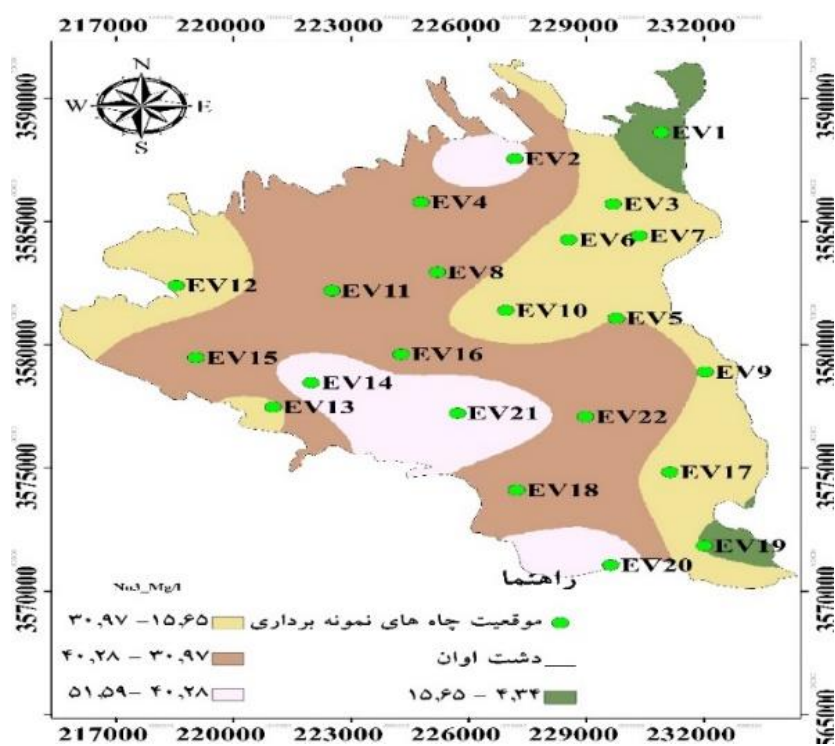
شکل ۴. شاخص‌های اشباع کلسیت، دولومیت، ژپس و هالیت نمونه‌های آب زیرزمینی دشت اوان

Fig. 4. Saturation indices of calcite, dolomite, gypsum and halite in the groundwater samples of the Evan plain

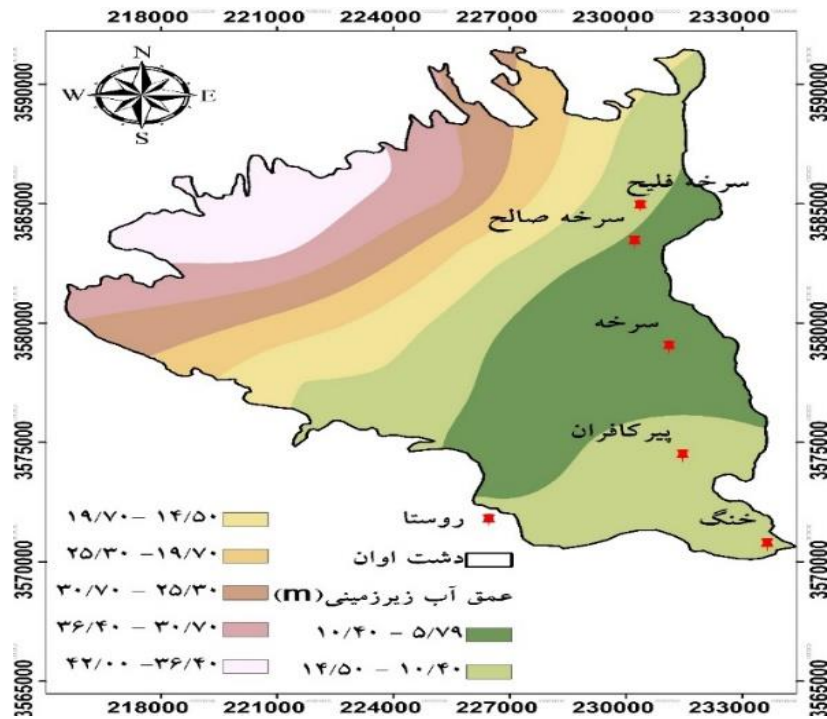
توزیع مکانی غلظت نیترات نمونه‌های آب‌های زیرزمینی

جهت ارزیابی آلودگی آب‌های زیرزمینی آبخوان آبرفتی اوان، نقشه توزیع مکانی یون نیترات تهیه‌شده است (شکل ۵). نیترات در آب‌های زیرزمینی برای محصولات کشاورزی بسیار سودمند می‌باشد و غذای بسیار خوبی برای گیاه محسوب می‌شود. از طرفی اگر مقدار آن در گیاهان خیلی زیاد شود، مصرف این گیاهان باعث بیماری‌هایی مانند متهموگلوبینمیا در بدن انسان می‌گردد. طبق استاندارد سازمان بهداشت جهانی افزایش غلظت نیترات به بیش از ۵۰ میلی‌گرم بر لیتر در آب آشامیدنی آلودگی محسوب می‌شود (WHO, 2008). در نتیجه در این پژوهش، مناطق با پتانسیل آلودگی یون نیترات از نقطه نظر استفاده برای شرب مورد بررسی قرار گرفته است. در منطقه مورد مطالعه، دامنه تغییرات غلظت یون نیترات بین ۳/۸۴ تا ۵۱/۶۰ میلی‌گرم بر لیتر به ترتیب مربوط به نمونه‌های EV1 در قسمت شمالی آبخوان و EV14 واقع در جنوب غربی آبخوان می‌باشد. غلظت نیترات نمونه‌های EV14، EV20، EV21 به ترتیب ۵۰/۵۱، ۵۱/۲۷ و ۵۱/۶۰ میلی‌گرم بر لیتر بوده است که بیش‌تر از مقدار استاندارد سازمان بهداشت جهانی می‌باشند (WHO, 2008). نمونه EV2 دارای غلظت ۴۲/۴۵ میلی‌گرم بر لیتر و به میزان حد مجاز یون نیترات در آب آشامیدنی نزدیک می‌باشد. نمونه‌های EV2 و EV14 در رسوبات آبرفتی دانه‌درشت حاصل از هوازدگی سازند کنگلومرای بختیاری موجود در محدوده مورد مطالعه، قرار گرفته‌اند. بافت دانه‌درشت و ماسه‌ای خاک باعث افزایش آبشویی نیترات می‌شود (Abdesselam et al., 2013; Heumesser et al., 2012). به عبارت دیگر بافت درشت‌دانه و ماسه‌ای خاک باعث افزایش نفوذپذیری رسوبات و به دنبال آن کاهش زمان ماندگاری نیترات در بخش غیراشباع

آبخوان شده است. نیترات خاک موجود در محدوده این نمونه‌ها بدون این‌که فرصت استفاده توسط گیاهان و نیترات‌زدایی توسط باکتری‌ها پیدا کند توسط جریان‌های عمودی خاک آبشویی شده و به آب زیرزمینی منتقل می‌شود. از طرف دیگر نمونه‌هایی با غلظت زیاد نیترات در قسمت با تمرکز کشت گسترده محصولات کشاورزی واقع شده‌اند و به نظر می‌رسد ورود نیترات ناشی از کودهای شیمیایی به آب زیرزمینی، یکی دیگر از منابع افزایش غلظت نیترات در آب زیرزمینی اوان باشد. لازم به توضیح است که نمونه‌های Ev20, Ev21 با غلظت‌های ۵۰/۵۱، ۵۱/۲۷ میلی‌گرم بر لیتر علاوه بر قرارگیری در مناطق با کشت زیاد محصولات کشاورزی، در بخش‌هایی با میزان عمق آب کم‌تر از ۱۵ متر قرار گرفته‌اند (شکل ۶). از این‌رو تمرکز کشت زیاد به همراه عمق کم آب زیرزمینی، منجر به آبشویی سریع یون نیترات و افزایش غلظت آن در آب این نمونه‌ها شده است.



شکل ۵. نقشه توزیع مکانی یون نیترات در آب زیرزمینی آبخوان اوان
 Fig.4. Spatial distribution map of nitrate ions in the groundwater of Evan aquifer



شکل ۶. نقشه هم عمق آبخوان اوان

Fig5. Iso-depth contour map of Evan aquifer

منشأ یابی آلودگی نیترات در آب زیرزمینی

نسبت‌های یونی شاخص‌های مناسبی در ارزیابی شیمی منابع آب هستند و استفاده از آن‌ها در تعیین منشأ هریک از پارامترهای هیدروشیمیایی، کمک فراوانی خواهد نمود. یکی از راه‌های تعیین منشأ یون نیترات در آب زیرزمینی استفاده از نسبت‌های یونی $\text{NO}_3^-/\text{Cl}^-$ ، K^+/Cl^- ، $\text{SO}_4^{2-}/\text{Cl}^-$ (درخور و شبان، ۱۳۹۷) می‌باشد. به همین منظور مقادیر این نسبت‌ها برای آب زیرزمینی آبخوان اوان محاسبه گردید (جدول ۵). منشأ کلرید و پتاسیم در آب زیرزمینی می‌تواند ناشی از فعالیت‌های انسانی (فاضلاب خانگی و کود شیمیایی) باشد. افزایش غلظت کلرید به همراه کاهش غلظت نیترات بیان‌کننده این مطلب است که منشأ کلرید به‌غیر از کود شیمیایی می‌باشد (Shaikh and Pawar, 1995). با توجه به جدول ۵ ملاحظه می‌شود که نسبت‌های $\text{NO}_3^-/\text{Cl}^-$ و K^+/Cl^- کم‌تر از یک بوده و افزایش غلظت کلرید، می‌تواند دلیلی به‌غیر از فعالیت‌های انسانی داشته باشد.

جدول ۵. نسبت‌های یونی نمونه‌های آب زیرزمینی آبخوان اوان

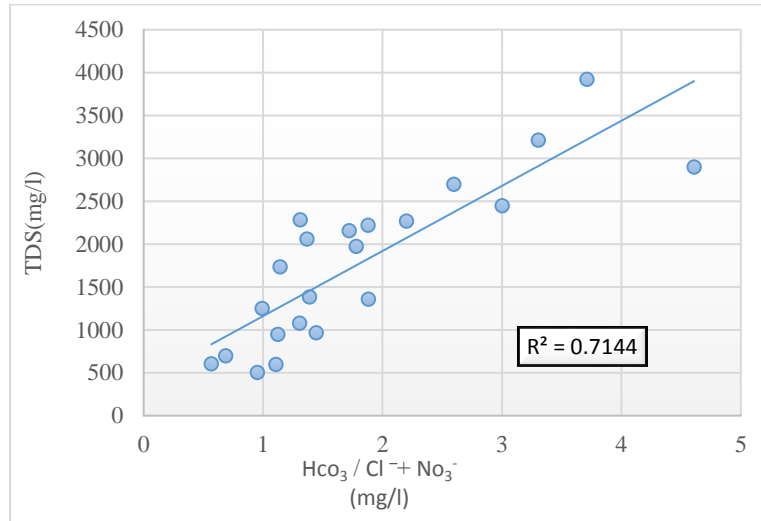
Table 5. Ion ratios of groundwater samples of Evan aquifer

Well	$\text{NO}_3^-/\text{Cl}^-$	K^+/Cl^-	$\text{SO}_4^{2-}/\text{Cl}^-$
EV1	0.009674	0.009373	1.06645
EV2	0.203081	0.014832	0.973442
EV3	0.06039	0.010236	1.005433

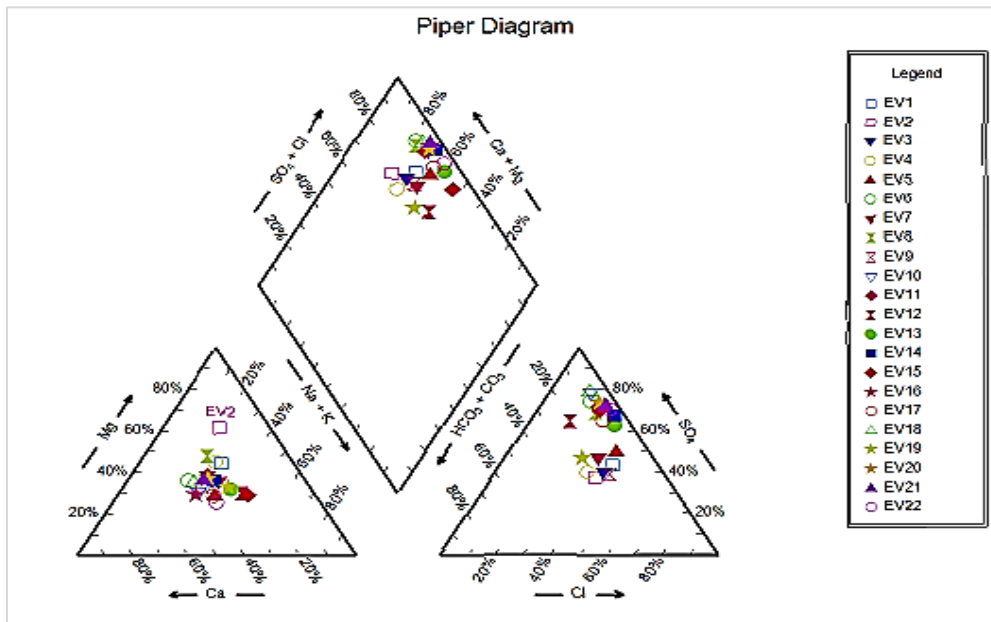
Well	NO ₃ ⁻ / Cl ⁻	K ⁺ / Cl ⁻	So ₄ ²⁻ /Cl ⁻
EV4	0.222618	0.015808	1.180697
EV5	0.031896	0.01018	1.274145
EV6	0.064696	0.014447	4.200654
EV7	0.055236	0.014721	1.381008
EV8	0.105505	0.012241	3.105864
EV9	0.059453	0.011729	0.904748
EV10	0.050065	0.016375	5.087593
EV11	0.088784	0.011515	3.016704
EV12	0.253841	0.022228	4.387318
EV13	0.025038	0.008045	1.977403
EV14	0.055336	0.006203	2.279284
EV15	0.063151	0.009241	3.207533
EV16	0.042991	0.010382	3.113551
EV17	0.037834	0.008287	2.45164
EV18	0.07301	0.01308	5.379178
EV19	0.064527	0.01602	1.682397
EV20	0.100214	0.010174	3.555639
EV21	0.059239	0.010546	2.992144
EV22	0.032603	0.010097	2.695337

افزایش کلرید را می‌توان به انحلال کانی‌های تبخیری مانند هالیت و سیلویت موجود در بخش لهری نسبت داد. افزایش هماهنگ غلظت نیترات و کلرید در آب زیرزمینی و افزایش آن‌ها نسبت به بیکربنات نیز، نشان‌دهنده تأثیر فعالیت‌های انسانی در کیفیت منابع آب زیرزمینی می‌باشد (Liu et al, 2003). از این‌رو در شکل ۷ نمودار نسبت مجموع نیترات و کلرید به بیکربنات $\text{NO}_3^- + \text{Cl}^- / \text{HCO}_3^-$ در مقابل کل املاح جامد (TDS) برای نمونه‌های آب زیرزمینی اوان ترسیم شده است (جعفری و کلاتگی، ۱۳۹۵). با توجه به شکل ۷ دو پارامتر ذکر شده از همبستگی بسیار خوبی (۰/۷۱) برخوردار بوده، که نشان می‌دهد غلظت زیاد نیترات در منابع آب زیرزمینی منطقه مورد مطالعه ناشی از فعالیت‌های انسانی می‌باشد. غلظت زیاد یون کلرید ناشی از انحلال کانی‌های تبخیری هالیت و سیلویت در سازندهای موجود در منطقه مورد مطالعه می‌باشد. دلیل دیگر افزایش یون کلرید نیز فاضلاب خانگی و کودهای شیمیایی است. با توجه به جدول ۳، زیاد بودن نسبت $\text{SO}_4^{2-} / \text{Cl}^-$ در اکثر نمونه‌ها را با استفاده از نمودار پایپر می‌توان توضیح داد. نمودار پایپر، یکی از روش‌های متداول جهت تعیین نوع آب‌ها، رخساره‌های هیدروشیمیایی و مسیرهای تکامل هیدروژئوشیمیایی آب زیرزمینی می‌باشد (Fetter, 2018). بر اساس نمودار پایپر (شکل ۸)، آنیون و کاتیون غالب به ترتیب سولفات و کلسیم می‌باشند و تیپ اکثر نمونه‌ها سولفات-کلسیک تشخیص داده شده است.

غلظت زیاد یون‌های کلسیم و سولفات در آب زیرزمینی اوان ناشی از وجود رسوبات آهکی و دولومیتی در سازندهای کنگلومرای بختیاری در محدوده آبخوان و تغذیه آب زیرزمینی توسط این سازندها بوده است. آبخوان اوان جزء مناطق خشک ایران می‌باشد و در نواحی خشک فروشویی سولفات از لایه‌های فوقانی خاک قابل توجه است و سبب می‌شود که سولفات آنیون اصلی آب‌های زیرزمینی واقع در زیر آن نواحی باشد (Fetter, 2018). عامل دیگر افزایش یون سولفات در آب زیرزمینی اوان نیز، ناشی از فاضلاب خانگی و کودهای شیمیایی استفاده‌شده در بخش کشاورزی است.



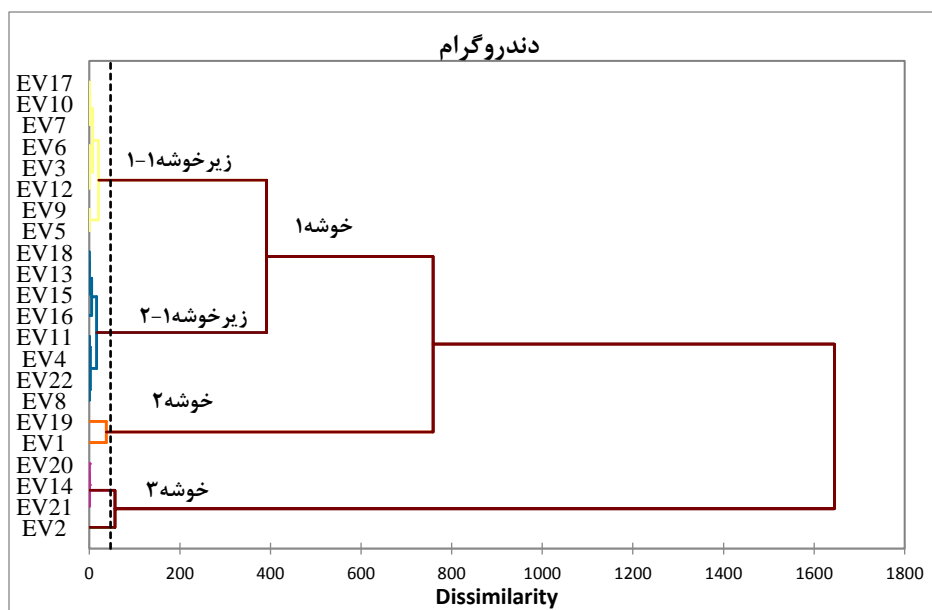
شکل ۷. نمودار نسبت یونی ($HCO_3^-/Cl^-+NO_3^-$) در مقابل (TDS)
 Fig. 6. Diagram of ion ratio ($HCO_3^-/Cl^-+NO_3^-$) vs. (TDS)



شکل ۸. نمودار پایپر نمونه‌های آب زیرزمینی آبخوان اوان
 Fig. 7. Piper diagram of groundwater samples of Evan aquifer

آنالیز خوشه‌بندی سلسله مراتبی (HCA)

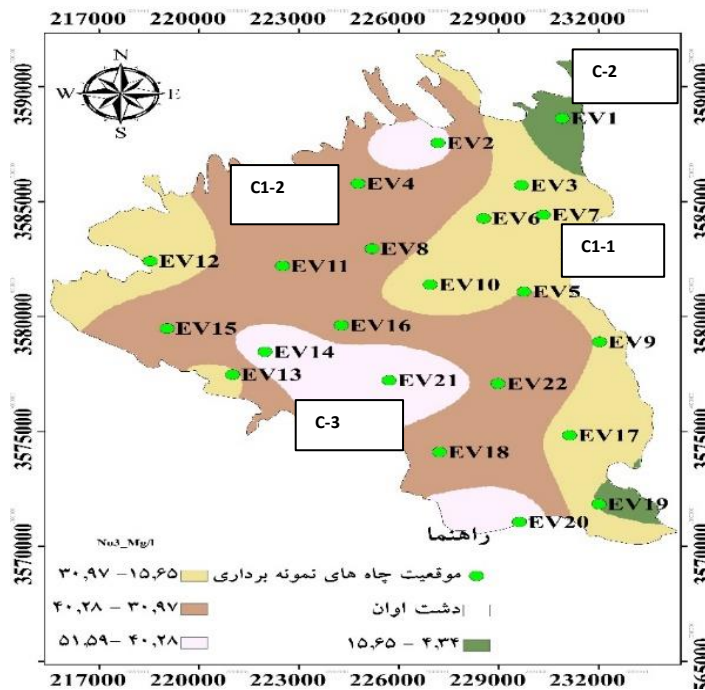
همانطور که در بخش روش تحقیق گفته شده است، با استفاده از روش خوشه‌بندی آماری می‌توان نمونه‌ها را به گروه‌های متمایزی که از لحاظ زمین‌شناسی و آماری، معنی‌دار باشند تقسیم‌بندی کرد (Willames and Steinhorst, 1985). متراکم سلسله مراتبی، رایج‌ترین روش تحلیل خوشه‌ای است که ارتباطات همسان ذاتی را بین هر کدام از نمونه‌ها و نیز بین همه داده‌ها فراهم می‌کند و معمولاً با یک نمودار درختی نشان داده می‌شود. نمودار درختی، خلاصه‌ای از فرآیند خوشه‌بندی، تصویر خوشه‌ها و مجاورت آن‌ها را به همراه کاهش قابل توجه ابعاد داده‌های اولیه نمایش می‌دهد. شباهت (به هم پیوستگی) بین خوشه‌ها و جداسازی خوشه‌های همگن برای مکان‌های نمونه‌برداری بر اساس فاصله اقلیدسی تعیین می‌شود. مکان‌های نمونه‌برداری با بیش‌ترین شباهت در گروه اول (خوشه اول) قرار می‌گیرند و سپس با استفاده از یک قانون به هم پیوستگی بین نمونه‌ها با انجام تکرار مراحل تا زمانی که همه نمونه‌ها خوشه‌بندی شوند ادامه می‌یابد. مطابق شکل ۹ همان‌طور که مشخص شده است آنالیز خوشه‌بندی سلسله مراتبی با توجه به خصوصیات پارامتر نیترات نمونه‌های آب زیرزمینی تعداد ۳ خوشه برای آن‌ها در نظر گرفته است به این معنا که دشت اوان به لحاظ آلاینده‌ی نیترات سه محدوده را شامل می‌شود، خوشه اول شامل زیر خوشه‌های ۱-۱ و زیرپوشه ۱-۲ که به ترتیب نمونه‌های EV17, EV10, EV7, EV6, EV3, EV12, EV9, EV5, EV18, EV13, EV15, EV16, EV11, EV4, EV22, EV8 و EV9, EV5, EV19, EV1 در نهایت در خوشه شماره ۳ نمونه‌های EV20, EV21, EV14, EV2 قرار گرفته‌اند. در زیر خوشه ۱-۱ نمونه‌های EV17, EV10, EV7, EV6, EV3, EV12, EV9, EV5 از رودخانه کرخه با میزان غلظت نیترات پایین و همچنین عدم وجود مراکز دام‌پروری از جمله مناطق کم‌خطر به لحاظ آلاینده‌ی نیترات به حساب می‌آیند.



شکل ۹. دندروگرام نمونه‌های آب زیرزمینی دشت اوان

Fig. 8. Dendrogram of groundwater samples of Evan Plain

موقعیت نمونه‌های خوشه ۱-۱ در نقشه پهنه‌بندی نیترات در شکل (۹) که بانام اختصاری C1-1 نشان داده شده است، نمایانگر این است که، اکثریت این نمونه‌ها به‌جز نمونه EV12 که در بخش شرقی دشت و بر روی سازند بختیاری واقع است، در مجاورت و یا تحت تأثیر رودخانه کرخه می‌باشند. زیر خوشه ۱-۲ نمونه‌های EV18, EV13, EV15, EV16, EV11, EV4, EV22, EV8 با میانگین نیترات ۳۶/۷ میلی‌گرم در لیتر می‌باشند. موقعیت نمونه‌های این زیر خوشه در شکل (۱۰) بانام اختصاری C1-2، نشان می‌دهد که اغلب نمونه‌های این زیر خوشه در بخش میانی دشت اوان واقع‌اند و به دلیل تمرکز عمده کشت محصولات کشاورزی، قرارگیری مراکز دام‌پروری، دانه‌درشت بودن رسوبات در بعضی از قسمت‌ها، مقدار نیترات این زیر خوشه با داشتن مقادیر کم‌تر از حد مجاز استاندارد نیترات با توجه موارد ذکرشده، احتمال خطر آلوده‌شده برای این نواحی در آینده پیش‌بینی می‌گردد. در خوشه شماره ۲ نمونه‌های EV1, EV19 با میانگین نیترات ۷/۳ میلی‌گرم در لیتر بی‌خطرترین نواحی در دشت اوان در نظر گرفته می‌شوند. موقعیت نمونه‌های این زیر خوشه در شکل (۱۰) با علامت C2، نشان می‌دهد که نمونه‌های این خوشه در مجاورت رودخانه کرخه قرار دارند و به علت اندرکنش آب‌های زیرزمینی و سطحی دارای کم‌ترین مقدار نیترات می‌باشند. در نهایت خوشه شماره ۳، نمونه‌های EV2, EV14, EV21, EV20 با مقادیر بیش‌تر از حد مجاز استاندارد از محدوده‌های آلوده‌شده به حساب می‌آیند. موقعیت نمونه‌های خوشه ۳ در نقشه پهنه‌بندی نیترات در شکل (۱۰) بانام اختصاری C3، نشان می‌دهد که اکثریت این نمونه‌ها به‌جز نمونه EV2 که در شمال دشت و در محدوده یک مرکز دام‌پروری قرار دارد، در جنوب دشت اوان و در مناطق با عمق کم آب زیرزمینی (کم‌تر از ۱۵ متر) قرار دارند و در این بخش آسیب‌پذیری آبخوان نسبت به نیترات زیاد است. با توجه به موارد گفته‌شده ملاحظه می‌گردد که، نتایج به‌دست‌آمده از تحلیل خوشه‌بندی سلسله مراتبی (HCA) با نقشه پهنه‌بندی نیترات مطابقت دارد.



شکل ۱۰. موقعیت خوشه‌بندی سلسله مراتبی بر روی نقشه پهنه‌بندی نیترات دشت اوان
 Fig. 9. Hierarchical clustering position on the nitrate zonation map of Evan plain

نتیجه‌گیری

در این پژوهش عوامل مؤثر در کیفیت آب زیرزمینی و هم‌چنین منشأ آلودگی یون نیترات در آبخوان دشت اوان بررسی گردید. نتایج حاصل از تحلیل عاملی نشان می‌دهد که، سه عامل اول تعیین‌کننده کیفیت آب موجود در منطقه می‌باشند که این عامل‌ها حدود ۸۹/۷۲٪ از کل میزان تغییرات را شامل می‌شوند. به ترتیب افزایش تأثیرگذاری هریک از پارامترهای هیدرو شیمیایی در عامل اول ($EC, Na, K, Mg, Ca, Cl, SO_4$)، ناشی از تعامل زیاد آب و سنگ، تأثیر سازندهای زمین‌شناسی در منطقه مورد مطالعه، در عامل دوم (pH, HCO_3^-) تغذیه ناشی از آب‌های سطحی (رودخانه کرخه) و بارندگی در دشت اوان و یون نیترات در عامل سوم تأثیرگذار است. نقشه توزیع مکانی یون نیترات نشان می‌دهد که بیش‌ترین مقدار غلظت نیترات در بخش‌های شمالی و جنوب غربی و به سمت شرق و جنوب‌شرق‌وز میزان این یون روند کاهشی دارد. افزایش میزان یون نیترات مربوط به بافت درشت‌دانه حاصل از هوازدگی سازند کنگلومرای بختیاری و عمق کم آب زیرزمینی می‌باشد که باعث تسریع آبشویی یون نیترات و انتقال آن به آب زیرزمینی شده است. کاهش میزان یون نیترات در قسمت‌هایی از آبخوان به دلیل افزایش بافت ریزدانه حاصل از هوازدگی بخش لهبری، عمق زیاد آب زیرزمینی (بیش‌از حد ۲۰ متر)، عدم تمرکز کشت محصولات کشاورزی که منجر به کاهش آبشویی نیترات در این نواحی گردیده است. همبستگی بسیار خوب (۰/۷۱) نمودار نسبت مجموع نیترات و کلرید به بیکربنات ($NO_3^- + Cl^- / HCO_3^-$) در مقابل کل املاح جامد (TDS) نشان می‌دهد که، غلظت زیاد نیترات در منابع آب زیرزمینی منطقه مورد مطالعه ناشی از فعالیت‌های انسانی می‌باشد. نمودار نسبت مجموع نیترات و کلرید به بیکربنات ($NO_3^- + Cl^- / HCO_3^-$) در مقابل کل املاح جامد (TDS) و هم‌چنین کاهش نسبت یونی NO_3^- / Cl^- و K^+ / Cl^- بیان می‌کند که غلظت زیاد یون کلرید علاوه بر منشأ طبیعی زمین زاد (انحلال کانی‌های تبخیری سرسرایت و سیلوات موجود در بخش لهبری)، منشأ دیگری حاصل از فعالیت‌های انسانی همانند فاضلاب‌های خانگی و کودهای شیمیایی دارد. آنالیز خوشه‌بندی سلسله مراتبی نمونه‌های آب زیرزمینی تعداد ۳ خوشه برای آن‌ها در نظر گرفته است. در خوشه اول در زیر خوشه ۱-۱ نمونه‌های EV17, EV10, EV7, EV6, EV3, EV12, EV9, EV5 با میانگین نیترات ۲۳/۶، به دلیل تغذیه عمده از رودخانه کرخه با میزان غلظت نیترات پایین و هم‌چنین عدم وجود مراکز دام‌پروری از جمله مناطق کم‌خطر به لحاظ آلاینده‌گی نیترات به حساب می‌آیند. در زیر خوشه ۱-۲ نمونه‌های EV18, EV13, EV15, EV16, EV11, EV4, EV22، در زیر خوشه ۱-۳ با میانگین نیترات ۳۶/۷، به دلیل تمرکز عمده کشت محصولات کشاورزی، قرارگیری مراکز دام‌پروری، دانه‌درشت بودن رسوبات در بعضی از قسمت‌ها، این زیر خوشه با داشتن مقادیر کم‌تر از حد مجاز استاندارد نیترات با توجه موارد ذکر شده، احتمال خطر آلوده‌شده برای این نواحی در آینده پیش‌بینی می‌گردد. در خوشه شماره ۲ نمونه‌های EV1, EV19 با میانگین نیترات ۷/۳ بی‌خطرترین نواحی در دشت اوان در نظر گرفته می‌شوند. و در نهایت خوشه شماره ۳، نمونه‌های EV20, EV21، EV14, EV2 با مقادیر بیش‌تر از حد مجاز استاندارد از محدوده‌های آلوده‌شده به حساب می‌آیند چراکه در محدوده نمونه EV2 یک مرکز دام‌پروری قرار دارد و هم‌چنین رسوبات این ناحیه از نوع دانه‌درشت می‌باشند. نمونه‌های EV20, EV21، EV14 در مناطق با عمق کم آب زیرزمینی (کم‌تر از ۱۵ متر) قرار گرفته‌اند بدین معنا که در این نواحی سطح آب زیرزمینی بالا آمده است.

- EPA. Hydrogeological assessment (groundwater quality) guideline., 2006. EPA Victoria, Publication 888, Australia.
- Fetter, C. W., T. Boving and D. Kreamer., 2018. Contaminant Hydrogeology. Waveland Press, Inc.
- Freeze, R.A, Cherry J.A.,1979. Ground Water. Prentice Hall, Englewood Cliffs.
- Guler, C., Thyne, G. D., McCray, J. E., & Turner, K. A., 2002. Evaluation of graphical and multivariate statistical methods for classification of water chemistry data. *Hydrogeology Journal* ,10(4), 455-74. doi:10.1007/s10040-002-0196-6.
- Isa, N. M., Aris, A. Z., Lim, W. Y., Sulaiman, W. N. A. W., & Praveena, S. M., 2014. Evaluation of heavy metal contamination in groundwater samples from Kapas Island, Terengganu, Malaysia. *Arabian Journal of Geosciences* .7(3),1087-1100. Doi: 10.1007/s12517-012-0818-9.
- Jang, C. S., & Chen, S. K., 2015. Integrating indicator based geostatistical estimation and aquifer vulnerability of nitrate-N for establishing groundwater protection zones. *Journal of Hydrology*. 523: 441-451. Doi: 10.1016/j.jhydrol.2015.01.077.
- Jeong, C. H., 2001. Effect of land use and urbanization on hydrochemistry and contamination of groundwater from Taejon area, Korea, *J. of Hydrology*. 253, 194-210. doi:10.1016/s0022-1694(01)00481-4.
- Kenney, D. R., 1989. Sources of Nitrate to ground water. *Developments in Agricultural and Managed Forest Ecology*. 21, 23-34. Doi: 10.1016/b978-0-444-87393-4.50008-3.
- Kehew, A. E., Straw, W. T., Steinman, W. K., Barrese, P. G., Passarella, G., & Peng, W. S.,1996. Groundwater quality and flow in a shallow glaciofluvial aquifer impacted by agricultural contamination. *Ground Water* ,34(3),491-500. Doi: 10.1111/j.1745-6584.1996.tb02030.x.
- Kura, N. U., Ramli, M. F., Sulaiman, W. N. A., Ibrahim, S., Aris, A. Z., & Mustapha, A., 2013. Evaluation of factors influencing the groundwater chemistry in a small tropical island of Malaysia. *International Journal of Environmental Research and Public Health* .10(5), 1861-1881. doi:10.3390/ijerph10051861.
- Liu, C. W., Lin, K. H., & Kuo, Y. M.,2003. Application of factor analysis in the assessment of groundwater quality in a Blackfoot disease area in Taiwan, *The Science of Total Environment*. 313, 77-89. Doi: 10.1016/S0048-9697(02)00683-6.
- Martínez, D., Moschione, E., Bocanegra, E., Glok Galli, M., & Aravena, R., 2014. Distribution and origin of nitrate in groundwater in an urban and suburban aquifer in Mar del Plata, Argentina. *Environ Earth Sci*, 72,1877-1886. Doi: 10.1007/s12665-014-3096-x.
- Mirzaee, S. Y., Sheikhy, P., Chitsazan, M., 2022. The vulnerability evaluation of groundwater level rising and development of irrigation network in Mian-Ab aquifer through Analytical Hierarchical Process method and groundwater modeling, 269, 2022, 33-46. Doi: 10.5004/dwt.2022.28722.
- Nathan, N. S., Saravanane, R., & Sundararajan, T., 2017. Spatial variability of ground water quality using HCA, PCA and MANOVA at Lawspet, Puducherry in India. *Computational Water, Energy, and Environmental Engineering*. 6, 243-268. Doi: org/10.4236/cweee.2017.63017.
- Pawar, N. A., & Shaikh, I. J., 1995. Nitrate pollution of groundwater from shallow basaltic aquifer. *Deccan Trap Hydrologic Province India Geo*.25, 197-204. Doi: 10.1007/s12665-014-3096-x.
- Ramaroson, V., Randriantsivory, J. R., Rajaobelison, J., Fareze, L. P., Rakotomalala, C. U., Razafitsalama, F. A., & Rasolofonirina, M.,2020. Nitrate contamination of groundwater in Ambohidrapeto-narivo-Madagascar using hydrochemistry and multivariate analysis. *Applied Water Science*. 10(7), 1-13. Doi.org/10.1007/s13201-020-01265-5.
- Shrestha, S., & Kazama, F., 2007. Assessment of surface water quality using multivariate statistical techniques: A case study of the Fuji river basin, Japan. *Journal of Environmental Modeling & Software*. 22(4), 464-475. Doi:10.1016/j.envsoft.2006.02.001.
- Steinhorst, R. K., & Williams, R. E., 1985. Discrimination of groundwater sources using cluster analysis, MANOVA, canonical analysis and discriminant analysis. *Water Resources Research*. 21(8),1149-1156. Doi.org/10.1029/WR021i008p01149.

- WHO., 2008 World Health Organization, Guidelines for drinking-water quality. second addendum. Vol. 1, Recommendations. 3th edition. ISBN 978 92 4 154760.
- WHO., 2011. Guidelines for drinking-water quality, 4th edn. World Health Organization, Geneva Switzerland. 398-403.
- Wick, K., Heumesser, C., & Schmid, E., 2012. Groundwater nitrate contamination: Factors and indicators. *Journal of Environmental Management* .111(3),178-18. Doi: 10.1016/j.jenvman.2012.06.030

Investigating the groundwater quality of Evan Plain aquifer in Khuzestan province with emphasis on nitrate concentration

Seyed Yahya Mirzaee^{1*}, Zahra Chaghazardi², Manouchehr Chitsazan³, Farshad Alijani⁴

1. Associate Professor, Faculty of Earth Sciences, Shahid Chamran University of Ahvaz, Ahvaz, Iran

2. PhD student, Faculty of Earth Sciences, Shahid Chamran University of Ahvaz, Ahvaz, Iran

3. Professor, Faculty of Earth Sciences, Shahid Chamran University of Ahvaz, Ahvaz, Iran

4. Assistant Professor, Faculty of Earth Sciences, Shahid Beheshti University of Tehran, Tehran, Iran

Received: 02 May 2023

Accepted: 29 May 2023

Abstract

The Evan plain is located in the Khuzestan province in the southwest of Andimeshek city. Groundwater is one of the available water resources for irrigation, drinking, and industry in this region. Due to the importance of examining the ground water quality of the Evan plain, hydrochemical parameters and nitrate pollution have been evaluated. Nitrate is one of the most widespread pollutants of ground water in the world. However, few studies have been conducted on this pollutant in the Evan plain. Therefore, to assess the quality of ground water in this area with emphasis on nitrate pollution, sampling was carried out in September of the water year (1400-1401) from 22 wells in this plain. During the sampling, field parameters (temperature, pH, EC), concentrations of major elements (Ca^{2+} , Mg^{2+} , Na^+ , K^+ , Cl^- , SO_4^{2-} , HCO_3^{2-} , CO_3^{2-}), and nitrate were measured. The results of the factor analysis demonstrated three influencing factors, namely EC, Na^+ , K^+ , Mg^{2+} , Ca^{2+} , Cl^- , SO_4^{2-} (as the first factor), pH and HCO_3^{2-} (as the second factor), and NO_3^- (as the third factor), with a total of 89.72% having the most changes in the Evan plain aquifer. The dominant water type in the Evan plain is sulfate-calcite. Hierarchical clustering analysis shows the three clusters for the regionalization of nitrate data. In general, the changes in nitrate ion concentration in the groundwater of the Evan plain are affected by the size of the soil particles, the depth of the groundwater, and the utilization of chemical fertilizers in the area.

Keywords: Evan Aquifer, Nitrate Pollution, Factor Analysis, Hierarchical Clustering Analysis (HCA).

Introduction

Groundwater is an important source of water that is used in industry, agriculture, and domestic purposes. In recent years, there has been an increase in population and the use of soluble chemicals, resulting from industrial and domestic production and expansion, which have led to a reduction in the quality of groundwater. Nitrate, as one of the factors contributing to groundwater pollution that is mostly caused by human activities, has always been of interest to researchers (Fetter, 2014). In most

*Corresponding author: Yahyamirzaee@scu.ac.ir

DOI: <http://doi.org/10.22034/JEG.2023.17.1.1019261>

cases, the occurrence of nitrate pollution in groundwater is related to agricultural effluent, excessive use of nitrogen fertilizers, as well as domestic sewage and animal waste. Understanding and monitoring the quality of water resources is very important for their management and optimal use. Therefore, examining the relationship between cations and anions can reveal many characteristics of water, and with their help, other water characteristics can also be determined. Evaluating the relationship between cations and anions using laboratory methods incurs significant costs. To reduce these costs, multivariate statistical methods such as Principal Component Analysis and Hierarchical Cluster Analysis can be used. In this regard, many analytical studies have been conducted by researchers (Kenny, 2014; Kehew et al., 2010; Kura et al., 2013; Isa et al., 2014; Suresh et al., 2017; Martínez, 2014; Chen and Jang, 2015; Ramarosan, 2020). In recent years, there has been an increase in agricultural activities and the use of nitrogen fertilizers in rural areas, resulting in the discharge of domestic sewage into the groundwater of the Evan aquifer. Therefore, this research focuses on investigating the quality of groundwater in the Evan plain, with a particular emphasis on the nitrate ion. The study aims to identify the source of nitrate pollution and determine the areas with the highest pollution potential using graphical and statistical methods.

Materials and Methods

The study conducted in this research was carried out in the Evan Plain. This plain, with an area of 195 square kilometers, is located at a distance of 140 kilometers from the city of Ahvaz in the northwest of Khuzestan province, on the road from Andimshek to DehIran. There are 14 observation wells in this plain, and the average water level of this area in the water year 1400-1401 is about 102.36 meters. In order to investigate the spatial changes and evaluate the ionic pollution of the Evan aquifer, sampling was conducted in September of the water year (1400-1401) from 22 exploitation wells with an appropriate relative distribution. The chemical analysis of main anions and cations (Ca^{2+} , Mg^{2+} , Na^+ , K^+ , Cl^- , SO_4^{2-} , HCO_3^{2-} , CO_3^{2-}) and nitrate ion was carried out in the laboratory of the Khuzestan Water and Electricity Organization. The Kaiser-Mayer-Olkin index and the athlete's test were used for the statistical analysis of the data. These two methods showed that the data were suitable for statistical analysis. To investigate nitrate ion pollution in the groundwater of the Evan aquifer, a spatial distribution map of nitrate ion, flow direction map, groundwater depth, ion ratio, Piper diagram, and the statistical method of Hierarchical Clustering Analysis (HCA) were used.

Results and Discussion

In the factor analysis, eigenvalues, variance percentage, and cumulative variance were calculated to carefully examine the variables and select the effective factors of the system. According to the calculations, three factors with eigenvalues greater than one were identified as the main factors, explaining 89.72% of the total variance. Based on the spatial distribution map of nitrate ions, wells Ev2, Ev14, Ev20, and Ev21 are at risk of nitrate contamination due to their proximity to coarse-grained weathered alluvial sediments, the presence of a livestock center, shallow groundwater depth, and areas with intensive cultivation. To determine the origin of nitrate pollution, ionic ratios such as $\text{NO}_3^-/\text{Cl}^-$, K^+/Cl^- , and $\text{Cl}^-/\text{SO}_4^{2-}$ were used. These ratios indicate that human activities are the main cause of nitrate pollution. Piper's chart was used to assess groundwater quality. The majority of samples exhibited a sulfate-calcic type. The increase in sulfate ions in Evan groundwater is attributed to domestic sewage and the use of chemical fertilizers in agriculture. Hierarchical clustering analysis

revealed that samples EV17, EV10, EV7, EV6, EV3, EV12, EV9, and EV5 belong to the first cluster and sub-cluster 1-1, with an average nitrate concentration of 23.6. These wells are primarily recharged by the Karkheh River, with low nitrate concentrations, and are considered low-risk areas for nitrate pollution. In sub-cluster 1-2, samples EV18, EV13, EV15, EV16, EV11, EV4, EV22, and EV8 exhibit an average nitrate concentration of 36.7, indicating a potential risk of nitrate pollution in the future. This is attributed to the concentration of agricultural crops, the presence of livestock centers, and the coarse-grained sediments in some areas. Cluster number 2 includes samples EV1 and EV19, which have the lowest average nitrate concentration of 7.3, making them the safest areas in terms of pollution in the Evan Plain. Finally, cluster number 3 consists of samples EV20, EV21, EV14, and EV2, which exceed the standard limit and are considered contaminated areas. EV2 is located near a livestock center, and the sediments in this area are coarse-grained. EV20, EV21, and EV14 are located in areas with shallow groundwater depth (less than 15 meters), indicating a rise in the groundwater level in these areas.

Conclusions

In this research, the effective factors in the quality of underground water and also the source of nitrate ion pollution in the Evan Plain were investigated. The results of factor analysis show that the first three factors determine the quality of water in the region. These factors include about 89.72 % of the total amount of change. In order to increase the influence of each of the hydrochemical parameters in the first factor (EC, Na, K, Mg, Ca, Cl, SO₄), due to the high interaction of water and rock, the influence of geological formations in the study area is included. In the second factor (HCO₃, pH) recharge is caused by surface water and rainfall in the Evan plain. And nitrate ion is effective in the third factor. a very good correlation (0.71) of the graph of the ratio of total nitrate and chloride to bicarbonate $\text{HCO}_3^- / \text{Cl}^- + \text{NO}_3^-$ against the total solid solution (TDS) shows that the high concentration of nitrate in the groundwater resources of the study area is caused by human activities. According to Hierarchical Clustering Analysis (HCA), groundwater samples were placed in three clusters. The results of this analysis showed that the position of each cluster corresponds to the spatial distribution map of nitrate ion.